

明石高尙 正員 高端 宏直
近畿大学 正員 岩平 勉
中部工大 正員 倉田 宗章

1) まえがき ……既に板の差分化した式と Boussinesq の理論式を結合し弹性体上の板の近似解⁽¹⁾を求め、更にこれと LEE の対応原理を応用して粘弹性体上の場合について近似解を求めた。既報では Kelvin と Maxwell モデルについて求めたが、今回はそれらの中間的な性質をもつ Standard Solid モデル⁽⁴⁾(図-1)の場合を解析したので報告する。

2) 解式の説明 ……はじめに弹性体の場合を簡単に列挙する。板は図-2 に示す様

に、周辺自由で集中荷重 P の中央点載荷と等分布荷重 ($q = \alpha x^2 P$) の全面載荷の 2

種を考え、半辺長 d を N 分割する。板の差分式は $D_s / \Delta x^4 [K] \{w\} = \{\bar{q}\} - \{q_f\}$ ⁽¹⁾

で地盤反力と弹性体表面の変位との関係(図-3)は $w_{ni} = q_f / D_f \cdot \Delta x^3 / D_f \cdot f_{ni}$ ⁽²⁾

ここで $f_{ni} = 3.525$, $f_{ni} = 1/r_n$, $D_f = \pi E_0 / (1 - \nu_0^2)$ 。マトリックス表示をすれば、

$$\{w_f\} = \frac{\Delta x}{D_f} \cdot \{f_f\} \{q_f\} \text{ または } \{q_f\} = \frac{D_f}{\Delta x} [K_f] \{w_f\} \cdots (3) \text{ となる。こゝで } [K_f] = [f_f]^{-1}$$

である。よって $\{w\} = \{w_f\}$ として (1), (3) 式より $[K] + \delta_0 [K_f] \{w\} = \{\bar{q}\} \cdots (4)$, $\bar{q} = P / D_s \lambda^2 (B_0 + B_0 \nu_0)$ 図-2. 板の諸元

をうる。地盤内の鉛直応力度(図-4)は $\{q_z\} = \frac{3\Delta x}{2\pi} \{q_f\} \cdot \{r\} \cdots (5)$ で表わされ $\{r\}$ は

$z_f^3 / (x_f^2 + y_f^2 + z_f^2)^{1/2}$ を要素とするベクトルである。こゝで、 $\lambda^3 = D_f / D_s$, $\delta_0 = r_0$, d , B は荷重

係数, D_s は板剛度, $[K]$ は板の差分の係数マトリックス, E_0, ν_0 は弹性体の弾性係数とボアソン比, $[K_f]$ と $[f_f]$ は弹性体の剛性マトリックスと柔軟マトリックスである。

次に Standard Solid モデルにおける応力、ひずみの関係は $\sigma_{ij} = \frac{1}{E_i} \frac{\partial u_j}{\partial x_i} = (1 + \frac{E_2}{E_1}) \frac{\partial \epsilon}{\partial t} + \frac{E_1}{E_2} \epsilon$ となる。(図-1)。本文では問題を簡単にするために $E_1 = E_2 = 1/A$, $\epsilon = 1/t$ とおくと、上式は

$$\sigma_{ij} (AD + B) = 2(D + \frac{B}{A}) EP_0 \text{ で, } \frac{\sigma_{ij}}{\epsilon} = \frac{2AD + B}{A^2 D + AB} \cdots (6) \text{ となる。更に粘弹性法則により,}$$

$$Q(t)/P_0 = 2G = \sigma/\epsilon = 2AD + B/A^2 D + AB, Q(t)/P_0 = 3K = C \cdots (7) \text{ となる。また,}$$

$$(1 - \mu_0^2) / E_0 = (3K + 4G) / 2G (6K + 2G) = \{Q(t)/P_0\} + 2Q(t)/P_0 \{Q(t)/P_0\} / \{Q(t)/P_0\} \{2Q(t)/P_0\} + Q(t)/P_0 \} \cdots (8)$$

$$\cdots (7) \text{ と (2) 式から } w_f^* = \frac{4\Delta x^2}{\pi} \cdot \frac{8f(t)}{P_0} \cdot \left\{ C + 2 \frac{2AP + B}{A^2 P + AB} \right\} / \frac{2AP + B}{A^2 P + AB} \cdot \left\{ 2C + \frac{2AP + B}{A^2 P + AB} \right\} \cdot \frac{1}{r_n} \text{ が求まる。こゝで } C = 0 \text{ として非正緒性と考える。上式は次の通りである。}$$

$$w_f^* = \frac{4\Delta x^2}{\pi} \frac{8f(t)}{P_0} \cdot 2(AP + B) / (2P + A/B) = \frac{4\Delta x^2}{\pi} \cdot 8f(t) \cdot 2A \left\{ 1/b + A/2AP + B \right\} \cdots (8) \text{ 上記 } \eta \text{ はせん断弹性係数, } K \text{ は体弹性係数, } P, Q, P', Q' \text{ を微分演算子, } D \text{ は } (\partial/\partial t), A, B, C \text{ を粘弹性材料の係数とする。} (8) \text{ 式を } \tau \text{ を変数として, Laplace 変換すれば, 粘弹性体の場合の解をうる。} w_f = \frac{4\Delta x^2}{\pi} \cdot 8f(t) \cdot 2A \left\{ 1 - \frac{1}{2} \exp(-\frac{B}{2A} t) \right\} \cdot \frac{1}{r_n} \cdots (9)$$

本問題は $g_f(t)$ が time dependent であるために、たゞ今こみ積分を用いて次式のように変形する。

$$w_f = \frac{20x^2 A}{\pi} \left\{ \frac{g_f(t)}{2} + B/4A \int_0^t g_f(\tau) \exp(-B/4A(t-\tau)) d\tau \right\} \cdot \frac{1}{r_n} \cdots (10) \text{ 数値計算を行なうため (10) 式を変形しマトリックス表示をする。上記 (3), (4) に相当する式を説明すれば, } \{w_f\} = \frac{20A}{\pi} \left\{ \{g_f\} \cdot \left(\frac{1}{2} + \Delta t \right) + \frac{1}{4} \{F(T)\} \cdot \{f_f\} \right\}$$

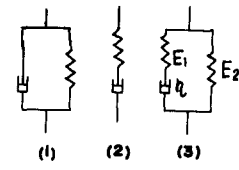
$$\cdots (11), \{g_f\} = \frac{\pi}{2\Delta x A} \frac{2}{1+2\Delta t} [K_f] \{w_f\} - \frac{1}{2(1+2\Delta t)} \{F(T)\} \cdots (12)$$

$$([K] + \delta_0 \frac{2}{1+2\Delta t} [K_f]) \{w_f\} = \{\bar{q}\} + \frac{1}{2(1+2\Delta t)} \cdot \frac{\Delta x^4}{D_f} \cdot \{F(T)\} \cdots (12) \text{ となる。こゝで } \lambda^3 = \pi / 2D_s A,$$

$$\lambda \Delta x = \Delta, \delta_0 = \Delta^3, BAt/A = \Delta T \text{ (時間さざみ幅), } F(T) = \sum_{n=1}^{\infty} \exp((i-n)\Delta T) \cdot g_f(i\Delta T) \Delta T \text{ である。}$$

初期条件は、本例の場合、 $E_1 = E_2$ とおむていいるので $\{w\}_{t=0} = \{w_f\}_{t=0} = \{w_0\}/2$, $\{g_f\}_{t=0} = \{g_{fe}\}$ である。添字 e は弹性体の場合を示す。以後、時間さざみ幅 ΔT 毎に逐次、時間経過と共に求めしていく。

3) 計算結果と考察 ……既報と同様に、全自由正方形板で、集中荷重中央載荷と全面等分布荷重載荷の場合に



KELVIN MAXWELL

STANDARD SOLID

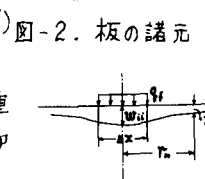
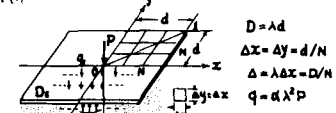


Figure 3. 地盤表面の変位

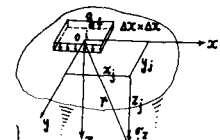


Figure 4. 地盤内の応力度

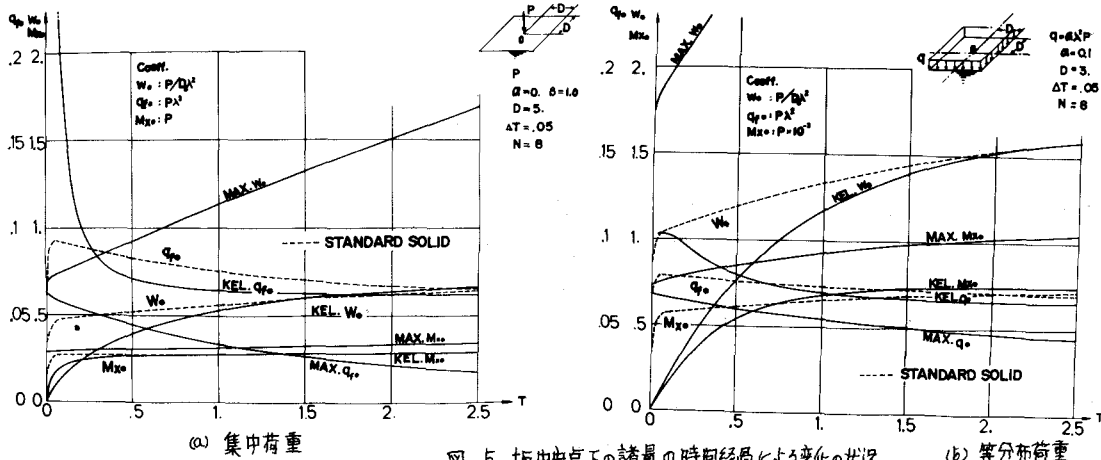


図-5. 板中央点下の諸量の時間経過による変化の状況

(b) 等分布荷重

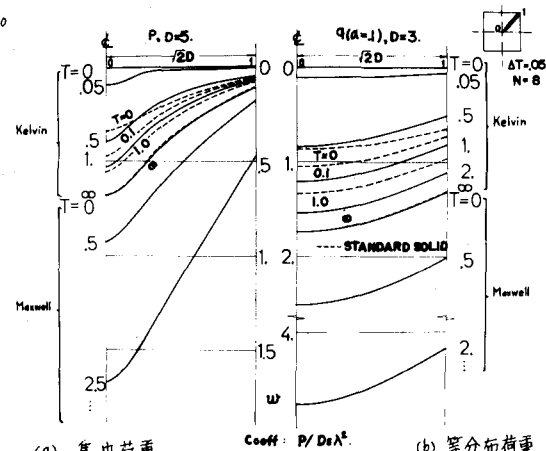
ついて解析した。図-5は板中央点下のたわみ w_0 、接触反力 q_{f0} 、曲げモーメント M_{x0} と時間経過の関係を描いた。 $T=0$ では初期条件の通りで、 T が大きくなるとKelvinモデルの場合に一致する。いずれも初期に変化がみられる。図-6は対角線下のたわみを他のモデルの場合と併記した。これも前図と同様 $T=\infty$ でKelvinモデルに一致し、他の場合のような大きな変化はみられない。(図-5,6 共にStandard Solidモデルは破線で示した。) 図-7は(1) $T=0$ 、(2) $T=0.1$ 、(3) $T=\infty$ の場合について、板の対角線下の地盤応力を等応力線を半辺長の1.5倍の深さまで描いた。(1)と(3)は同じ応力状態である。 $T=0.1$ 附近でKelvinモデルに似た形状を示し、以後はKelvinモデルに近づく。即ち弾性体の場合に差しくなる。

以上のように、他のモデルに比して、時間経過に伴う大きな変化はみられなかった。たゞ初期の間にやや変化する。

本例のような場合問題になるのは時間刻み幅 ΔT の選定である。今回は経験的に等間隔で $\Delta T=0.05$ をとった。Maxwellモデルではある値以上では演算誤差の累積のため不合理な値を示した。本例では途中の精度は別として、このような現象はみられなかつた。本例の場合の初期の拳動をもう少し正確につかむため、きざみ幅を段階的に変える方法を検討中である。

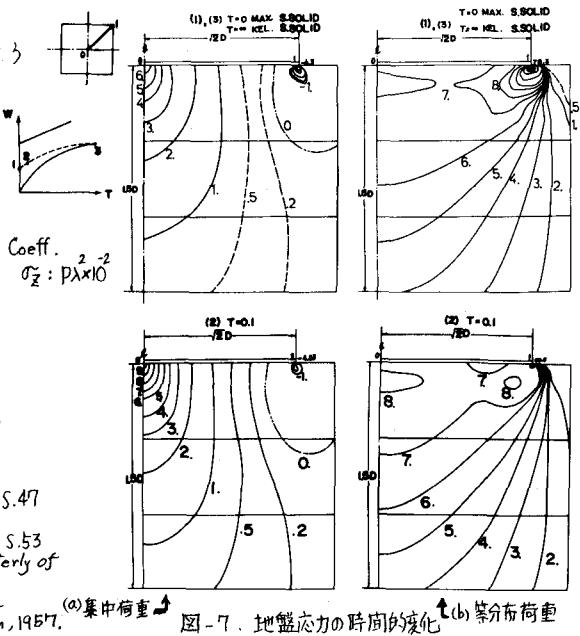
【参考文献】

- 1) 飯田, 高端: 3次元弾性体上の平板の曲げについて,
*27回 土木学会第2次学術講演会 I-126, S.47
- 2) 高端, 飯田: 半無限粘弾性体上の板の曲げ解析,
*33回 土木学会第2次学術講演会 I-40, S.53
- 3) E.H. LEE: Stress Analysis in Visco-Elastic Bodies, Quarterly of
Applied Mathematics, Vol. XIII, No. 2, 1955.
- 4) A.M. Freudenthal, H.G. Lorch: The Infinite beam on a linear
visco-elastic foundation, Proc. of ASCE, EM1, Jan, 1957.



(a) 集中荷重

図-6. たわみの時間経過による変化.



(a) 集中荷重

図-7. 地盤応力の時間的変化